苦瓜的化学成分研究(『)△

贵阳医学院天然药物化学教研室(550004) 常风岗

摘要 从葫芦科植物苦瓜 $Momordica\ charantia\ L$.果实的乙醇提取物中分得4个化合物,经理化和光谱方法鉴定,确定其中3个为四环三萜型葫芦苦素类化合物,即苦瓜素甙 F_1 、G和I; S1个为胡萝卜甾醇,系首次从该植物中分得。

关键词 苦瓜 苦瓜素甙 胡萝卜甾醇

苦瓜Momordica charantia L.为葫芦科苦瓜属植物,性味苦寒,具有清热解凉,滋养强壮,降血糖等功效(¹),成熟果实多作蔬菜食用。从苦瓜果实及种子中曾分离出多种皂甙和蛋白质,分别具育降血糖,抗肿瘤和堕胎作用(²,³)。近据报道,苦瓜提取物可抑制艾滋病病毒HIV的表面活性,选择性地杀死被HIV感染的淋巴细胞和巨噬细胞,使患者T.细胞数显著上升,T₄/T₃比值较为正常,很有可能成为一种抗艾滋病的新药。本院组织胚胎教研室通过动物实验证实,鲜苦瓜汁能够抑制雄鼠精子发育,具有较强的抗生育活性(⁴),其抗生育活性成分研究见上报(⁵)。本文报道对苦瓜果实中亲脂性成分的研究结果。从鲜苦瓜干燥並脱脂后的乙醇提取物中,经YZS-Ⅱ型液相制备色谱仪分离,得到6个单体化合物,经理化鉴定和光谱分析並与文献对照,确定Ⅰ~Ⅳ的结构为: 苦瓜素 甙F₁(momordicosideF₁,Ⅰ)、苦瓜素 甙I(momordicosideI,Ⅱ)、苦瓜素 甙 G(momordicoside G,Ⅱ)、胡萝卜甾醇(daucosterol,Ⅳ)。其中Ⅳ系首次从苦瓜中得到。 化合物 I~Ⅱ的化学结构式如图1。

1 仪器和试剂

熔点测定用日本柳本MP型显嵌熔 点 阅定仪,温度未校正;分离用YZS-I型液相 制备色谱仪(天津科器公司仪器实验厂); 紫外光谱用Perkin-Elmer紫外分光光度计测定; 红外光谱用岛津IR-400仪测定, KBr压片; ¹HNMR和¹³CNMR用Fx-60Q核磁共振仪测定,TMS为内标; MS用日立 M-80A 质谱仪测定。柱层析用硅胶H和薄层层 析用硅胶G均为青岛海洋化工厂生产。苦瓜购 自贵阳市场,经本院生药教研室赛明兰副教授鉴定。

	R ₁	R 2
1	-GLC	-CH ₃
П	-GLC	-H
Ш	-AL1	-CH ₃

图1 化合物 1~ 11 的化学结构式

2 提取和分离

市售鲜苦瓜经去籽、干燥并粉碎后,置素氏提取器中用石油醚(bp60~90℃)回流脱脂48h,取出晾干挥去溶剂,用80%乙醇回流提取2次,每次6h,合并提取液,浓缩得稠浸膏。干燥粉碎后悬浮于乙醇中,用40%KOH调pH至10,低温放置过夜后,过滤,得沉淀物

△本文于1990年11月在上海召开的"第四届全国天然有机化学学术讨论会上"进行交流

《中草药》1995年第26卷第10词

^{*}Address: Chang Fenggang, Department of Medicinal Chemistry, Guiyang Medical College Giuyang

(A)和滤液(B)。

A部分行硅胶柱层析, CHCl_s-MeOH(9:1)洗脱, 丙酮重结晶得晶 N。

B部分加等量水稀释后乙醚萃取,萃取液水洗,无水Na₂SO₄脱水,回收溶剂后用乙醇精制得淡黄色固体物。将其用YZS-I型液相制备色谱仪分离,制备柱为 ϕ 40×200mm,填充剂为硅胶H(10~40μ)紫外检测器波长为254nm,流动相为CHCl₃-MeOH(2:3),经2次层离后,得5个组分,其中第2、3、5组分用70%乙醇及甲醇重结晶后得化合物 I、I、I。3 鉴定

晶 I: 白色晶形粉末 (70%乙醇), mp196~200℃, [α]²⁵-109.1°(c, 1.05, Me-OH),元素分析: 计算值(%), C 70.22, H 9.56, 实测值(%), C 69.93, H 9.30。磷 钼酸,L-B反应和Molish反应均为阳性。酸水解PC检查,检出D-葡萄糖。FD-MS m/z ⁶33 (M⁺ + H), ¹³CNMR出现δ107.1信号,示含一分子糖。甙元部分用环己烷重结晶得白 色方晶, mp136~138℃, [a] 25-87.3°(c, 1.15, MeOH), 元素分析: 计算值(%): C 79.10,H 10.71; 实测值(%): C79.02, H10.28。分子式为C₈₁H₅₀O₅, EI-MSm/z470 $(M^+)_{\circ} U V \lambda_{\max}^{E_tOH} n m_1 214$; $IRv_{\max}^{KBr} c m^{-1}_1 3420 (OH), 1645 (C=C), 1215 (C-O-C)$ 醚环),1060 (C-O伸缩振动),965 (反式双键)。 ¹HNMR和¹°CNMR数据均 表 明 其 母 核为四环三萜型葫芦烷。氢谱阜δ3.60(1H,d,J=9Hz)及δ3.76(1H,d , J = 9Hz) 应为 C_0 上取代的连氧亚甲基毒 (> $C-CH_2-O-$,偕偶),碳谱中 C_5 为连氧季碳($\delta 83.9ppm$, s),而不是与大多数葫芦烷美化合物一样的双键碳,并且氢谱中δ5.50 (1H,dd,J= 10, 4Hz, C₇-H)系δ6.12(1H, brd, J=10Hz, C₆-H)及碳谱中δ138.6(d, C₆)和129.4 (d, C,)均示其为△6(6), 因此,推断分子中C1g亚甲氧基与C5相连形成醚环。碳 谱 中 C25 (δ 75.1, s)头连氧季碳,示其取代育甲氧基(δ 52.4, q),且α、β位有双键,即 Δ ²³⁽²⁴⁾ (δ134.3,d,C23;δ128.6d,C24)。C3的¹³CNMR信号甙化位移约9.2ppm,表明 糖 基 连在C。位,¹HNMR中糖端基H为δ4.88(1H, d, J=7.2Hz) 示为β-甙键。 与 文 献[6]比 较, 确定I的结构为葫芦烷-6,23-二烯-3β-羟基-5,19-环氧-25-甲氧基-3- \mathbf{O} -β- \mathbf{D} -吡喃葡萄 糖甙,即苦瓜素甙Fi。

晶 I: 白色晶形粉末(7.%EtOH),mp215~218℃,cal $^{25}_{6}$ —110.9°(c, 1.15,MeOH)。元素分析: 计算值(%):C69.87,H 9.45,实测值(%):C69.15,H9.31。磷钼酸、L-B $_{6}$ Molish 反应均为阳性。酸水解PC检查,检出D-葡萄糖。FD-MSm/z616(M++H), 13 CNMR中 3 105.6(C₁')峰示其为单糖甙,C₃(3 885.9)甙化位移9.4ppm 表明系3位成甙,糖端基H(3 4.9ppm,d)J值为7.4Hz,示其为β-D吡喃葡萄糖。水解后的甙元甲醇 宣结晶得白色片晶,mp205~208℃, 3 5.84.6°(c, 1.10,MeOH)。元素分析: 计算值(%):C 78.90,H 10.59;实测值(%):C 78.15,H 10.79。EI-MSm/z 456(M+),分子式为C₅₀ H₅₃O₅。 I 及其甙元的各项光谱测试结果与I 大致相同,只是在氢谱中未检出 3 3.20ppm的甲氧基单峰信号,碳谱中未发现 3 5.4ppm的四重峰。由于I与I的分子量差值为14,故推断 II 为 I 的去甲基衍生物,即C₂₅—OH。为进一步证实,将 I 和 I 分别用Hakomori法(DMSO+NaH+MeI,60℃)进行全甲基化,2个甲基化衍生物的mp,R_f值,混熔点和IR 谱显字一致。因此,确定 II 的结构为葫芦烷—6,23—二烯—3β,25—二羟铝—5,19—环氧—3—O-β—D—吡喃葡萄糖甙,即苦瓜素甙I。

晶Ⅱ: 白色晶形粉末 (MeOH), mp183~186°C, [α] 25-106.5°(c, 1.05, MeOH)。

元素分析: 计算值(%): C 70.22,H 9.56; 实测值(%): C 70.01, H 9.26。三萜及糖基 的化学鉴定反应均呈阳性。FD-MSm/z633(M++H)。酸水解后的甙元用环己烷 重 结 晶 得白色方晶, mp136~138℃, 与晶I的甙元经薄层层析比较R/值一致, 混溶点不下降,且两 者IR, ¹HNMR和¹³CNMR数据均相同,故确定II的甙元即为momordicosideF₁的甙元。 **I** 的¹³CNMR检出δ106.5ppm的d蜂,示其为单糖甙, C₃(δ87.2ppm)的甙化位移值约10 ppm, 示其为成甙位置。¹HNMR中 C_1 ′-H(δ5.34, d)的J值为8.2Hz,表明为β构型糖; 83.90 (1H, dd, J=8.2, 3Hz)和4.68 (1H, t, J=3Hz) 两 阻 峰分别由糖基的C2'-H 和C₂/-H所产生。由J值可知、C₁/-H和C₂/-H 为 竖-竖 取 向(J₄₃=8.3Hz), C₂/-H和C₃/ -H为竖-横 取 向(Jae=3Hz), C3'-H和C4'-H(δ4.32, dd, J=3.2Hz)为 横-竖 取向 $(J_{ea}=3Hz)$, 因此推断糖 $\stackrel{!}{\sim} C_2'$ 、 C_3' 、 C_4' 位上 3 个取代羟基均在同侧,即位于糖 环 平 面的下方,应为 β -D-阿洛糖(β -D-allose)。为进一步证实其结构,将 Π 用箱守法(DM-SO+NaH+CH₃I,65℃)全甲基化,甲基化产物经硅胶柱层析纯化甲醇重结晶后进行甲醇 解(0.5mol/L HCl+MeOH,4h),水解产物行硅胶柱层析,以不同比例的丙酮-苯溶液洗脱, 在15%浓度洗脱段, 经精制后得一油状液体, [a]25 14.3°(c, 1.05, CHCl₃), 其红外光 谱与文献报道的四甲基β-D-阿洛糖甲甙的IR谱一致[7]。因此,确定II的结构为葫芦烷-6,23-二烯-3β-羟基-5,19-环氧-25-甲氧基-3-O-β-D-吡喃阿洛糖甙,即苦瓜素甙 G。见图2。

晶 N: 无色片晶(MeOH),mp291~294℃,L-B和Molish反应阳性,其IR,MS,¹HNMR和¹²CNMR数据与文献报道的胡萝卜甾醇一致[8]。将 N用10%硫酸水解的水解液PC检出D-葡萄糖,甙元部分的IR谱与β-谷甾醇标准品一致,且混熔点不下降,共薄层 R_f 值一致。因此,确定 N 的结构为β-

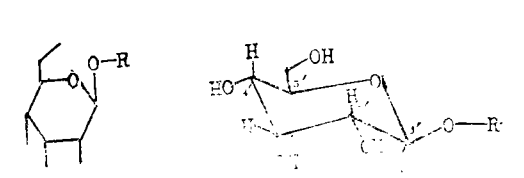


图2 化合物 11 的立体结构图

谷甾醇-3-O-β-D-吡喃葡萄糖甙,即胡萝卜甾醇,系从苦瓜中首次分离得到。

化合物 I~II的¹HNMR数据见表1, I~IV的¹8CNMR数据见表2。

表1 化合物 I ~ I 的 HNMR光谱数据(ppm, TMS, TMS)-da中)

碳位	I	П	Ш
18-CH ₃	0.86(3H,s	0.84(3H,s)	0.88(3H,s)
19-CH ₂	3.60(1H,d,J=9Hz)	3.57(1H,d,J=8.4Hz)	3.62(1H,d,J=9Hz)
	3.76(1H,d,I=9LZ)	3.76(1 Hd, J = 3.4 Hz)	3.72(1H,d,J=9Hz)
21-CH ₃	0.93(3H,d,J=6Hz)	0.94(3H.d.J = 6Hz)	0.93(3H,d,J=6Hz)
26,27-2×CH ₃	1.30(6H,s)	1.49.6H,s)	1.32(6H,s)
3α- Η	3.62(1H,brs)	3.68(1H,brs)	3.64(1H,brs)
6-vinyl H	6.12(1H, br d, J = 10Hz)	6.14(1H, brd J = 10Hz)	6.09(1H, brd, J = 10Hz)
7 vinyl H	5.50(1H,dd.J=10.4Hz)	5.54(1H,dd,J=10,4Hz)	5.48(1H,dd,J=10,4Hz)
23,24-vinyl H	5.60(2H,brs)	5.90(2H,brs)	5.62(2H, brs)
осн₃	3.20(3H,s)		3.20(3H,s)
S gar H			
1'-H	$4.88(1H,d,J=7.2H^{2})$	4.90(1H,d,J=7.4Hz)	5.34(1H,d,J=8.82Hz)
2'-H			3.90(1H,dd,J=8.2,3Hz)
3'-H			4.68(1H, t, J = 3Hz)

表2 化合物 I~IV的18CNMR数据(ppm,TMS)

碳位 	I a	Па	mª	inp 1 us]甙元6	Ⅱ的甙元b
1	36.1(t)	35,9(t)	36,4(t)	37,2(t)	34.7(t)	34.3 ^(t)
2	28.4(t)	28.7(t)	28.1(t)	28.4(t)	29.0(t)	30.1 ^{(t}
3	85,2(d)	85.9(d)	87,2(d)	78.8(d)	76.0(d)	76.5 (d)
4	38.8(s)	39.2(s)	38.2(s)	40.1(t)	37.5(s)	37,8(s)
5	83.9(5)	86.1(s)	83,4(s)	140.8(s)	86.7(s)	87.1'5)
6	138,6'd)	142,3(d)	138,2(d)	121.5(d)	135.2(d)	142.0 (d)
7	123.4 d	130.5(d)	129.0(d)	31.9(t)	128.9(d)	131.7 (d)
8	32.4(d)	33.1(d)	32.1(d)	32,3(d)	32.7(d)	33.4 (d)
9	49.1(s)	48,9(s)	48.7(s)	50,1(d)	49.3(s)	49.0/s)
10	38,11đ)	39,9(d)	37.8(d)	36.4(s)	38,7(d)	39.5 (d)
11	22.5(t)	22.1(t)	22,3(t)	21.0(1)	22.1(t)	22.3(t)
12	11,5°t`	42.6(t)	41.0't)	39.2(t)	40,9(t)	42.4(t)
13	15.1(s)	45,4(s)	45.4(s)	42.5(s)	45.0(s)	45,2(s)
14	46.6(s)	45.9(s)	46.1(s)	56.6(d)	46.7(s)	45.7(s)
15	26,3(t)	27.4(1)	26.5(t)	24,2(t)	25.8(t)	26,9(t)
16	27,4(t)	37.8(t)	26.9(t)	28,2(t)	27.0(t)	27,6(t)
17	49.6(d)	49.1(d)	49.3(d)	56.1(d)	50.4(d)	49.4 (d)
18	15.8(q)	15.6(q)	15.4'q)	12.1(q)	15,6(q)	15.5 (q)
19	80.2(t)	80,0(t)	80.7(t)	19.2(q)	80,1(t)	79.8(t)
20	29.1(d)	29.3(d)	28.8(d)	36.6(d)	29.0(d)	29.1 (d)
21	15.1(q)	15.3(q)	14.8(q)	19.3(q)	15.0(q)	15.4 (q)
22	41,7(t)	40.8(t)	41.5(t)	34.5(t)	41.2(t)	40.7(t)
23	134.3 d)	132,5(d)	134.0(d)	29.7(t)	132.9(d)	132.1(d)
24	128.6(d)	126,7(d)	128.4(d)	46.2(d)	128.7(d)	126.4(d)
25	75.1(s)	72.3(s)	74.9(s)	26,3(d)	74.9(S)	72.1(s)
26	21.7(q)	21,4(q)	21,5(q)	(P)e.81	22.1 (q)	21.8(q)
27	21.5′q	21,3(q)	27.2(q)	19.7(q)	22.0(q)	21.4 (q)
30	27.3(q)	27.0(q	21,6(q)	23.1(t,C28)	26,8 (q)	26.2 (q)
31	16.4 q;	16,2(q)	16.0(q)	$12.2(q.C_{29})$	16,9(q)	15.9 (q)
32	16.9(q)	16,4(q)	16.2(q)		16.7 (q)	16.2(9)
OCH3	52.4(q)		52.7(q)		51,8 (b)	
1'	107.1 d)	105.6(d)	106.5(d)	102.1(d)		
2'	71.8(d)	71.2(d)	70.6(d)	75.6(d)		
3'	78.5(d)	78.4(d)	75.9(d)	78,5(d)		
4'	74.2(d)	73.2(d)	72.9(d)	71.3(d)		
5 ′	78,4(d)	78.2(d)	74.3(d)	78.1 (d)		
6'	62.7(t)	62.5(t)	60.8(t)	62.8(t)		

a-DMSO-d. b-CsDsN

致谢:清华大学理化测试中心代测核磁共振氢谱和碳谱;四川农科院中心实验室代测质 谱;中国科学院地化所代测元素分析;资州省药检所代测紫外及红外光谱;谭宁华,金必文 等同志参加部分实验工作。

献 考 文

- 江苏新医学院。中药大辞典。上册。上海:上海科
- 技出版社, 1986, 1231 Lotlikar M M, et al. Indian J Pharm, 1966, 28 (5):129
- Nag 1 T B, et al. J Ethnopharmacol, 1986, 15: 107
- 覃国芳,等。贵阳医学院学报,1985,10(2):121
- 5
- 常凤岗。中草约, 1995, 26(6):281 Okabe H, et al. Chem Pharm Bull, 1982, 30 (11):3977
- Chemical Applications of Infrared
- Spectroscopy. 1970. 276 王 惠康,等。中草药,1987, 18(1):5 (1993-12-30收稿)

ABSTRACTS OF ORIGINAL ARTICLES

Studies on the Chemical Constituents of Balsampear (Monordica charantia)

Chang Fenggang

Four compounds were isolated from 80% EtOH extract of the fruits of Momordica charantia L., and identified by chemical reactions and spectral data (UV, IR, 'HNMR, ¹⁸CNMR and MS). They were momordicoside F1, I,G and daucosterol. This was the first reported isolation of daucosterol from this plant.

(Original article on page 507)

Studies on the Chemical Constituents of Mashagianhu

(Peucedanum mashanense)

Huang Ping, Lu Chungiong, Lai Maoxiang, et al

Six compounds isolated from the root of Peucedanum mashanense Shan et Sheh, were identified as deltoin, marmesin, phellopterin, oxypeucedanin hydrate, bergapten and B-sitosterol on the basis of physical and chemical properties and spectral data.

(Original article on page 511)

Determination of y-Aminobutyric Acid in Manyinflorescenced Sweetvetch

(Hedysarum polybotrys) and Its Granular Preparation

Zhou Lihong, Hu Gengyong

Isolation of γ - aminobutyric acid in Hedysarum polybotrys was accomplished by HPT-LC and the content of the said component in the herb and its preparation determined by dual wave length scanning $n(\lambda)$ solution, and λ_R 700nm. The method was simple and accurate.

(Original article on page 518)

Studies on the Fatty Acid Composition of Seed Oil of Several Plants in Changbaishan Region

Yang Shijie, Chen Guangrong, Li Qianmei, et al

Fatty acid composition and content in seed oil of plants in Chunghaishan region was studied by gas chromatography and reported.

(Original article on page 519)

Determination of Tanshinone I $_{\rm A}$ in "Prostate Healthcare Bag" by TLC Scanning

Li Xiangyang, Tu Wanqian .

TLC scanning technique was used for the determination of tanshinone Π_A in "Prostate Healthcare Bag" at $\lambda_S=470$ nm, and $\lambda_R=620$ nm. This method is simple and highly sensitive, with an average recovery of 97.45% and a variation coefficient of 1.28%.

(Original article on page 520)

Biological Effect of Fiveleaf Gynostemma (Gynostemma pentaphyllum) on Thorny Nude Belly Water Flea ——A Model for the Screening of Antiaging

Chen Qingyao, Ji Yuantang, Sun Yulin, et al